N-représentabilité en SDFT

David GONTIER

Directeur de thèse : Eric Cancès CERMICS, École des Ponts ParisTech et INRIA

GDR Co-DFT à Guidel, 20 Mai 2013

Cas non magnétique

Un Hamiltonien électronique à N-corps a la forme :

$$H(v) = \underbrace{\sum_{i=1}^{N} -\frac{1}{2}\Delta_{i}}_{\text{\'energie cin\'etique}} + \underbrace{\sum_{1 \leq i < j \leq N} |\mathbf{r}_{i} - \mathbf{r}_{j}|^{-1}}_{\text{\'energie d'interaction}} + \underbrace{\sum_{i=1}^{N} v(\mathbf{r}_{i})}_{\text{potentiel ext\'erieur}}.$$

H(v) est linéaire est agit sur $\bigwedge_{i=1}^N L^2(\mathbb{R}^3)$. Son domaine de forme est $\bigwedge_{i=1}^N H^1(\mathbb{R}^3)$:

$$\Psi \in \bigwedge_{i=1}^N H^1(\mathbb{R}^3) \Longrightarrow \left\{ \begin{array}{l} \Psi(\mathbf{r}_{\rho(1)},\mathbf{r}_{\rho(2)},\ldots,\mathbf{r}_{\rho(N)}) = \varepsilon(\rho) \Psi(\mathbf{r}_1,\mathbf{r}_2,\ldots,\mathbf{r}_N) \quad \text{(principe de Pauli)} \\ \\ \int_{\mathbb{R}^3N} |\nabla \Psi|^2 < \infty \quad (\Psi \text{ est d'énergie cinétique finie)}. \end{array} \right.$$

On s'intéresse ici à l'énergie de l'état fondamental,

$$E(v) = \min_{\Psi \in \bigwedge H^{1}, \|\Psi\|_{L^{2}} = 1} \langle \Psi | H(v) | \Psi \rangle.$$

Après calculs, on obtient

$$\langle \Psi | H(v) | \Psi \rangle = \langle \Psi | T + W | \Psi \rangle + \int_{\mathbb{R}^3} v(\mathbf{r}) \rho(\mathbf{r}) d^3 \mathbf{r}$$

où ρ est la densité électronique définie par

$$\rho_{\Psi}(\mathbf{r}) := N \int_{\mathbb{D}^{3(N-1)}} |\Psi(\mathbf{r}, \mathbf{r}_{2}, \dots, \mathbf{r}_{N})|^{2} d^{3}\mathbf{r}_{2} \dots d^{3}\mathbf{r}_{N}.$$

On introduit aussi la matrice densité à un corps :

$$\gamma(\mathbf{r},\mathbf{r}') = N \int_{\mathbb{R}^{3(N-1)}} \Psi(\mathbf{r},\mathbf{r}_2,\ldots,\mathbf{r}_N) \overline{\Psi(\mathbf{r}',\mathbf{r}_2,\ldots,\mathbf{r}_N)} \ \mathrm{d}^3\mathbf{r}_2 \ldots \mathrm{d}^3\mathbf{r}_N$$

de sorte que $\rho(\mathbf{r}) = \gamma(\mathbf{r}, \mathbf{r})$.

Théorème (Hohenberg-Kohn 65)

Si Ψ_1 (resp. Ψ_2) est un état fondamental de $H(v_1)$ (resp. $H(v_2)$), avec $v_1 \neq v_2$, alors $\rho_1 \neq \rho_2$.

Corollaire : Il existe une fonctionnelle $\rho \to \nu \to \Psi$.

Preuve (très facile)

On a

$$\langle \Psi | H(v) | \Psi \rangle = \langle \Psi | T + W | \Psi \rangle + \int_{\mathbb{R}^3} v(\mathbf{r}) \rho(\mathbf{r}) d^3 \mathbf{r}$$

Supposons que l'état fundamental est non dégénéré, et que $ho_1=
ho_2:=
ho$. Alors

$$\langle \Psi_1|H(v_1)|\Psi_1\rangle < \langle \Psi_2|H(v_1)|\Psi_2\rangle = \langle \Psi_2|H(v_2)|\Psi_2\rangle + \langle \Psi_2|H(v_1)-H(v_2)|\Psi_2\rangle$$

ou encore

$$E(v_1) < E(v_2) + \int (v_1(\mathbf{r}) - v_2(\mathbf{r})) \rho(\mathbf{r}) d^3\mathbf{r}.$$

De la même manière, on a

$$E(v_2) < E(v_1) + \int (v_2(\mathbf{r}) - v_1(\mathbf{r})) \rho(\mathbf{r}) d^3\mathbf{r}$$

et on obtient une contradiction en additionnant les inéquations.

D'après le théorème de Hohenberg-Kohn, il existe une fonctionnelle $\rho \to v \to \Psi$, de sorte qu'on peut travailler avec ρ au lieu de Ψ :

On transforme ainsi le problème en très grande dimension

$$\inf_{\Psi \in \bigwedge_{i=1}^{N} \left. H^{1}(\mathbb{R}^{3}), \left\|\Psi\right\|_{\boldsymbol{L}^{2}}=1} \left\{ \left\langle \Psi \right| \mathcal{T} + W + V |\Psi\rangle \right\}$$

par le problème en dimension 3 suivant :

$$\inf_{\rho\in\mathcal{I}_{\pmb{N}}}\left\{\int v\rho+F(\rho)\right\}$$

et les deux problèmes sont équivalents.

Problèmes:

- On ne connaît pas la forme de $F(\rho)$, mais on en connaît de relativement bonnes approximations (LDA, GGA, etc.)
- On ne connait pas \mathcal{I}_N (c'est la question de représentabilité).

Qui prendre pour \mathcal{I}_N ?

Selon le théorème de Hohenberg-Kohn, on doit introduire

$$V_N = \{v \text{ mesurable}, H(v) \text{ a un unique état fondamental}\}$$

puis

$$\mathcal{A}_{\mathit{N}} = \left\{ \Psi \in \bigwedge_{i=1}^{\mathit{N}} H^1(\mathbb{R}^3), \quad \|\Psi\|_{\mathit{L}^2} = 1, \quad \exists v \in \mathcal{V}_{\mathit{N}}, \quad \psi \text{ est l'état fondamental de } H(v)
ight\}$$

en enfin

$$\mathcal{I}_N^{\mathsf{v}} = \left\{ \rho \in L^1(\mathbb{R}^3), \quad \exists \Psi \in \mathcal{A}_N, \quad \rho = \rho_{\Psi} \right\}.$$

Ce sont les conditions nécessaires pour la preuve du théorème du Hohenberg-Kohn. Ce problème est la v-représentabilité, et est très difficile.

Il existe une autre approche qui permet de simplifier le problème (Levy-Lieb) : on écrit

$$\begin{split} E(v) &= \inf_{\Psi \in \bigwedge H^{1}(\mathbb{R}^{3}), \|\Psi\| = 1} \langle \Psi | T + W + V | \Psi \rangle \\ &= \inf_{\rho \in \mathcal{I}_{N}} \left\{ \inf_{\Psi \in \bigwedge H^{1}(\mathbb{R}^{3}), \rho_{\Psi} = \rho} \langle \Psi | T + W + V | \Psi \rangle \right\} \\ &= \inf_{\rho \in \mathcal{I}_{N}} \left\{ \int v \rho + \inf_{\underbrace{\Psi \in \bigwedge H^{1}(\mathbb{R}^{3}), \rho_{\Psi} = \rho}} \left\{ \langle \Psi | T + W | \Psi \rangle \right\} \right\} \\ &= \int_{\mathcal{I}_{N}} \left\{ \int v \rho + \underbrace{\int_{\mathcal{I}_{N}} \left\{ \int v \rho + \underbrace{\int_{\mathcal{I}_{N}} \left\{ \nabla \psi | T + W | \Psi \rangle \right\}}_{F(\rho)} \right\}}_{F(\rho)} \right\} \end{split}$$

οù

$$\mathcal{I}_{N} = \left\{ \rho \in L^{1}(\mathbb{R}^{3}), \quad \exists \Psi \in \bigwedge_{i=1}^{N} H^{1}(\mathbb{R}^{3}), \quad \|\Psi\|_{L^{2}} = 1, \quad \rho = \rho_{\Psi} \right\}.$$

Caractériser cet ensemble est le problème de la N-représentabilité.

Remarque : Il n'y a plus la difficile question d'unicité de l'état fondamental!

On préfère généralement travailler avec γ_Ψ (matrice densité à 1-corps) définie par

$$\gamma_{\Psi}(\textbf{x},\textbf{y}) = \textit{N} \int_{\mathbb{R}^{3(\textit{N}-1)}} \Psi(\textbf{x},\textbf{x}_2,\dots\textbf{x}_\textit{N}) \overline{\Psi(\textbf{y},\textbf{x}_2,\dots\textbf{x}_\textit{N})} \; \mathrm{d}^3\textbf{x}_2\dots\mathrm{d}^3\textbf{x}_\textit{N}.$$

En effet, on a dans ce cas

$$\rho_{\Psi}(\mathsf{x}) = \gamma_{\Psi}(\mathsf{x},\mathsf{x})$$

Autrement dit, l'application $\rho : \gamma \mapsto \rho_{\gamma}$ est linéaire!

On introduit alors les trois espaces suivants :

- $S_N = \{\gamma_{\Psi}, \Psi \text{ est un déterminant de Slater}\}$
- $\mathcal{P}_{\textit{N}} = \left\{ \gamma_{\Psi}, \Psi \in \bigwedge_{i=1}^{\textit{N}} H^1(\mathbb{R}^3), \quad \|\Psi\|_{L^2} = 1 \right\}$ (Etats purs)
- $\mathcal{M}_N = \mathrm{CH}\left[\mathcal{P}_N\right]$ (Etats mixtes)

On a alors les propriétés importantes suivantes :

- $S_N \subsetneq \mathcal{P}_N \subsetneq \mathcal{M}_N$, donc $\rho(S_N) \subset \rho(\mathcal{P}_N) \subset \rho(\mathcal{M}_N)$
- \mathcal{M}_N est convexe, donc $\rho(\mathcal{M}_N)$ est convexe (car ρ est linéaire)
- $\mathcal{M}_N = \mathrm{CH}(\mathcal{S}_N)$, donc $\rho(\mathcal{M}_N) = \mathrm{CH}\left[\rho(\mathcal{S}_N)\right]$

Théorème (Gilbert '75, Lieb '81)

$$\rho(\mathcal{S}_N) = \left\{ \rho \in L^1(\mathbb{R}^3) \cap L^3(\mathbb{R}^3), \quad \rho \geq 0, \quad \int \rho = N, \quad \sqrt{\rho} \in H^1(\mathbb{R}^3) \right\}.$$

Remarque:

• $\rho(S_N)$ est convexe (pas évident), donc $\rho(S_N) = \rho(P_N) = \rho(M_N)$.

Cet ensemble est l'ensemble \mathcal{I}_N qu'on cherche

Idée de la preuve (Harriman).

On pose

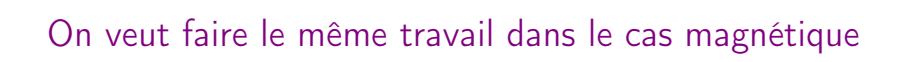
$$\Phi_k(\mathbf{r}) = \sqrt{\frac{
ho(\mathbf{r})}{N}} \cdot \exp(2\pi \mathrm{i} k \ f(\mathbf{r}))$$

où f est choisie de telle sorte que les Φ soient orthonormales. On pose ensuite

$$\Psi(\mathbf{r}_1, \mathbf{r}_2, \dots, \mathbf{r}_N) = \frac{1}{\sqrt{N!}} \det \left(\Phi_i(\mathbf{r}_j) \right)_{1 \leq i, j \leq N}$$

On vérifie alors directement que

$$\rho_{\Psi}(\mathbf{r}) = \sum_{i=1}^{N} |\Phi_i(\mathbf{r})|^2 = \rho(\mathbf{r})$$



D'après l'équation de Dirac, l'Hamiltonian électronique pour N électrons est

$$H(v, \mathbf{A}) = \underbrace{\sum_{i=1}^{N} \frac{1}{2} \left(\sigma_i \cdot \left(-\mathrm{i} \nabla_i + \frac{1}{c} \mathbf{A}(\mathbf{r}_i) \right) \right)^2}_{\text{\'energie cin\'etique}} + \underbrace{\sum_{1 \leq i < j \leq N} |\mathbf{r}_i - \mathbf{r}_j|^{-1}}_{\text{\'energie d'interaction}} + \underbrace{\sum_{i=1}^{N} v(\mathbf{r}_i)}_{\text{potentiel ext\'erieur}}$$

 $H(v,\mathbf{A})$ est linéaire, et de domaine de forme l'espace fermionique $\bigwedge_{i=1}^N H^1(\mathbb{R}^3,\mathbb{C}^2)$:

$$\Psi \in \bigwedge_{i=1}^{N} H^{1}(\mathbb{R}^{3}, \mathbb{C}^{2}) \text{ a } 2^{N} \text{ composantes} : \begin{pmatrix} \Psi(\mathbf{r}_{1}, \uparrow, \mathbf{r}_{2}, \uparrow, \dots, \mathbf{r}^{N}, \uparrow) \\ \Psi(\mathbf{r}_{1}, \uparrow, \mathbf{r}_{2}, \uparrow, \dots, \mathbf{r}^{N}, \downarrow) \\ \vdots \\ \Psi(\mathbf{r}_{1}, \downarrow, \mathbf{r}_{2}, \downarrow, \dots, \mathbf{r}^{N}, \downarrow) \end{pmatrix}$$

and vérifie toujours le principe de Pauli :

$$\Psi(\mathbf{r}_{p(1)},\alpha_{p(1)},\mathbf{r}_{p(2)},\alpha_{p(2)},\ldots,\mathbf{r}_{p(N)},\alpha_{p(N)}) = \varepsilon(p)\Psi(\mathbf{r}_1,\alpha_1,\mathbf{r}_2,\alpha_2,\ldots,\mathbf{r}_N,\alpha_N).$$

A est le potentiel vecteur (on rappelle que $\mathbf{rot}(\mathbf{A}) = \mathbf{B}$ est le champ magnétique), et $\sigma_i = (\mathbf{I}_i, \sigma_{\mathbf{x},i}, \sigma_{\mathbf{y},i}, \sigma_{\mathbf{z},i})$ contient les matrices de Pauli agissant sur le spin i.

On a changé l'espace de Hilbert. On travaille maintenant avec

$$\mathcal{H} = L^2(\mathbb{R}^3, \mathbb{C}^2) := \{ \Phi = (\phi^\uparrow, \phi^\downarrow) \in L^2(\mathbb{R}^3), \quad \|\Phi\|_{\mathcal{H}} < \infty \}$$

οù

$$\langle \Phi | \Psi \rangle = \int_{\mathbb{R}^3} \left(\overline{\phi^{\uparrow}}(x) \psi^{\uparrow}(x) + \overline{\phi^{\downarrow}}(x) \psi^{\downarrow}(x) \right) \ \mathrm{d}x.$$

La matrice densité à 1-corps a maintenant 4 composantes :

$$\gamma_{\Psi}(\mathsf{x},\mathsf{y}) = egin{pmatrix} \gamma_{\Psi}^{\uparrow\uparrow} & \gamma_{\Psi}^{\uparrow\downarrow} \ \gamma_{\Psi}^{\downarrow\uparrow} & \gamma_{\Psi}^{\downarrow\downarrow} \end{pmatrix} (\mathsf{x},\mathsf{y})$$

où, par exemple,

$$\begin{split} \gamma_{\Psi}^{\uparrow\downarrow}(\textbf{r},\textbf{r}') = \\ N & \sum_{\textbf{r} \in \{\uparrow,\downarrow\},\textbf{N}} \int_{\mathbb{R}^{3(\textbf{N}-1)}} \Psi(\textbf{r}\uparrow,\textbf{r}_{2}\sigma_{2},\dots\textbf{r}_{N}\sigma_{N}) \overline{\Psi(\textbf{r}'\downarrow,\textbf{r}_{2}\sigma_{2},\dots\textbf{r}_{N}\sigma_{N})} \; \mathrm{d}^{3}\textbf{r}_{2}\dots\mathrm{d}^{3}\textbf{r}_{N}. \end{split}$$

Cette fois-ci, on calcule

$$\begin{split} \langle \Psi | H(\nu, \mathbf{A}) | \Psi \rangle &= \langle \Psi | T + W | \Psi \rangle \\ &+ \int \left(\nu(\mathbf{r}) + \frac{1}{2} \frac{|\mathbf{A}(\mathbf{r})|^2}{c^2} \right) \rho(\mathbf{r}) \mathrm{d}^3 \mathbf{r} + \int_{\mathbb{R}^3} \mathbf{A}(\mathbf{r}) \cdot \mathbf{j}_{\rho}(\mathbf{r}) \; \mathrm{d}^3 \mathbf{r} + \mu_B \int_{\mathbb{R}^3} \mathbf{B}(\mathbf{r}) \cdot \mathbf{m}(\mathbf{r}) \; \mathrm{d}^3 \mathbf{r}. \end{split}$$

De nouveaux objets sont apparus :

- ρ est toujours densité électronique
- ip est le courant paramagnétique
- m est la densité de spin

$$\begin{cases} \rho(x) &= \gamma^{\uparrow\uparrow}(x,x) + \gamma^{\downarrow\downarrow}(x,x) \\ \mathbf{j}_{p}(x) &= Im\left(\nabla_{2}\gamma^{\uparrow\uparrow}(x,x) + \nabla_{2}\gamma^{\downarrow\downarrow}(x,x)\right) \\ \mathbf{m}_{x} &= \gamma^{\uparrow\downarrow}(x,x) + \gamma^{\downarrow\uparrow}(x,x) \\ \mathbf{m}_{y} &= -\mathrm{i}\left(\gamma^{\uparrow\downarrow}(x,x) - \gamma^{\downarrow\uparrow}(x,x)\right) \\ \mathbf{m}_{z} &= \gamma^{\uparrow\uparrow}(x,x) - \gamma^{\downarrow\downarrow}(x,x) \end{cases}$$

On rappelle que A et B sont reliés par B = rot A. Cependant, A agit sur les orbitales, alors que B agit sur le spin. C'est pourquoi on préfère séparer les deux effets, et on pose

- A = 0 and $B \neq 0$ pour les effets de spin. Spin Density Functional Theory (SDFT).
- ullet B = 0 and A \neq 0 pour les effets orbitalaires. Current Density Functional Theory (CDFT).

Ici, je m'intéresse à la SDFT (A = 0).

Pour $\Psi \in \bigwedge_{i=1}^N H^1(\mathbb{R}^3)$, on introduit

$$R_{\Psi}(\mathbf{r}) = \begin{pmatrix} \rho^{\uparrow\uparrow}(\mathbf{r}) & \rho^{\uparrow\downarrow}(\mathbf{r}) \\ \rho^{\downarrow\uparrow}(\mathbf{r}) & \rho^{\downarrow\downarrow}(\mathbf{r}) \end{pmatrix} = \begin{pmatrix} \gamma^{\uparrow\uparrow}(\mathbf{r},\mathbf{r}) & \gamma^{\uparrow\downarrow}(\mathbf{r},\mathbf{r}) \\ \gamma^{\downarrow\uparrow}(\mathbf{r},\mathbf{r}) & \gamma^{\downarrow\downarrow}(\mathbf{r},\mathbf{r}) \end{pmatrix}.$$

Alors, R_{Ψ} est une matrice hermitienne positive, elle vérifie $\int \operatorname{Tr}_{\mathbb{C}^2}(R_{\Psi}) = N$, et on a

$$\langle \Psi | \textit{H}(\textit{v}, \textit{B}) | \Psi \rangle = \langle \Psi | \textit{T} + \textit{W} | \Psi \rangle + \int_{\mathbb{R}^{3}} \operatorname{Tr} \left(\begin{pmatrix} \textit{v} + \mu_{\textit{B}} \textit{B}_{\textit{z}} & \mu_{\textit{B}} \textit{B}_{\textit{x}} + \mathrm{i} \mu_{\textit{B}} \textit{B}_{\textit{y}} \\ \mu_{\textit{B}} \textit{B}_{\textit{x}} - \mathrm{i} \mu_{\textit{B}} \textit{B}_{\textit{y}} & \textit{v} - \mu_{\textit{B}} \textit{B}_{\textit{z}} \end{pmatrix} (\textit{r}) \; \textit{R}_{\Psi}(\textit{r}) \right)$$

On s'intéresse à la N-representabilité, i.e.

$$\mathcal{J}_{\mathcal{N}} := \left\{ R \in \mathcal{M}_{2 imes 2}(L^1(\mathbb{R}^3)), \quad \exists \Psi \in \bigwedge^{\mathcal{N}} H^1(\mathbb{R}^3, \mathbb{C}^2), \quad \|\Psi\| = 1, \quad R = R_{\Psi}
ight\}$$

Comme avant, l'application $R: \gamma \mapsto R_{\gamma}$ est linéaire.

En reprenant nos trois ensembles (déterminants de Slater, états purs, états mixtes) dans le cas avec spin, on a encore le schéma suivant

$$\begin{array}{cccc} \mathcal{S}_N & \subsetneq & \mathcal{P}_N & \subsetneq & \mathcal{M}_N = \operatorname{CH}\left[\mathcal{S}_N\right] \\ \downarrow R & \downarrow R & \downarrow R \\ R(\mathcal{S}_N) & \subset & R(\mathcal{P}_N) & \subset & R(\mathcal{M}_N) = \operatorname{CH}\left[R(\mathcal{S}_N)\right] \end{array}$$

Remarque

- Cette fois, on peut vérifier que $R(\mathcal{P}_N) \neq R(\mathcal{M}_N)$. En effet, dans le cas N=1 par exemple, il est facile de vérifier que $R(\mathcal{P}_1)$ ne contient que des matrices de rang 1.
- Dans ce contexte, il n'y a pas de théorème de type Hohenberg-Kohn [Esricht, Capelle, Rasolt, Vignale]

Théorème

$$R(\mathcal{M}_N) = \left\{ R \in \mathcal{M}_{2\times 2}(L^1(\mathbb{R}^3)), \quad R \geq 0, \quad \int \operatorname{Tr}_{\mathbb{C}^2}(R) = N, \quad \sqrt{R} \in \mathcal{M}_{2\times 2}(H^1(\mathbb{R}^3)) \right\}$$

- La racine carré est ici au sens des matrices hermitiennes (idem pour ≥ 0).
- Très belle analogie avec le cas précédent $(\{\rho,\ldots,\sqrt{\rho}\in H^1(\mathbf{R}^3)\})$.

Idée de la preuve

- Construire explicitement des déterminants de Slater pour les matrices de rang 1 partout.
- Montrer que tout $R \in \mathcal{M}_N$ est la combinaison convexe de deux matrices de rang 1.
- Conclure en utilisant la convexité de \mathcal{M}_N .

Remarque : Ce théorème montre que $R(\mathcal{M}_N)$ est un ensemble convexe. Le montrer directement est extrêmement difficile!

Travaux futurs

Travaux futurs

- Le cas CDFT : *N*-représentabilité de (ρ, \mathbf{j}_p) , puis de (ρ, R, \mathbf{j}_p) .
- Etudier les modèles utilisés en SDFT (GGA, fonctionnelles hybrides).

Travaux futurs

- Le cas CDFT : *N*-représentabilité de (ρ, \mathbf{j}_p) , puis de (ρ, R, \mathbf{j}_p) .
- Etudier les modèles utilisés en SDFT (GGA, fonctionnelles hybrides).

Merci pour votre attention